

تحديد البارامترات الهندسية للكمون الضوئي

طريقة VMA

$$(n + {}_{26}^{54}Fe_{28})$$

الملخص:

تم في هذا البحث و باستخدام طريقة (VMA) (التقريب التغايري للعزوم) تحديد البارامترات الهندسية للكمون النووي الضوئي للجسيمات المتبعثرة بطاقة الـ ${}_{26}^{54}Fe_{28}$ ، فقد وجدنا أن مع ازدياد الطاقة فإن اعمق الكمون الحقيقي و انصاف اقطارها و نفاذيتها تتناقص بينما اعمق الكمون التخييلي الحجمي ترداد مع ازدياد الطاقة وهذا يتوافق مع الاعمال [1-3]. وهذا واضح في الجدول (1).

و وجدنا ايضاً بأن التحديد المثالي للبارامترات الهندسية للكمون الضوئي تقود إلى توافق وتطابق جيد بين مقاطع التفاعل الكلية المحسوبة بطريقة VMA و مثيلاتها التجريبية والمحسوبة من التمثيلات الوسطية العالمية .

كلمات مفتاحية:

طريقة (VMA)، العلاقة التبددية، الكمون النيوتروني الضوئي، المقطع الكلي للتفاعل.

Determination of the geometric parameters of the optical by (VMA) method of the ($n + {}^{54}_{26}Fe_{28}$) system

Abstract:

In this paper, using the (VMA) method, the geometric parameters of the optical nuclear potential of the particles scattered with energy ($40 \leq E_n \leq 50 MeV$) were determined be the iron nucleus ${}^{54}_{26}Fe_{28}$.

We found that with the increase in energy the depths of the real potential and its radii and permeability decrease, while the depths of the imaginary volumetric potential increase with the increase in energy and this corresponds to the works [1–2–3], and this is clear in table (1).

We also found that the ideal determination of the geometric parameters of the optical potential leads to a good agreement and convergence between the computed (VMA) interaction segments and their experimental and calculated counterparts from the global median representations.

Keywords:

VMA method, Dispersive relation, Optical neutron potential, Total reaction cross section.

مقدمة:

تعتبر دراسة التأثير المتبادل بين الاشعة و المادة من الامور الاساسية و الهامة في علم الاشعة المؤينة بسبب أن تأثير الاشعة في جميع المواد الحية وغير الحية يتم من خلاله. وتتصبح ايضاً جميع قياسات الاشعة ممكنة فقط، بسبب هذا التأثير التبادل. ولكن عندما ينطوي الامر على دراسة التأثيرات المتبادلة بين النيوكلونات و حركتها داخل النواة سيكون بغایة التعقيد والصعوبة مقارنة مع الالكترونات الذرية و يعزى ذلك لوجود نوعين مختلفين من النيوكيلونات (بروتونات و نيوترونات) داخل النواة و كذلك لوجود نوعين من القوى إداتها هي القوى النووية و الأخرى هي قوة كولوم ، ولتبسيط ذلك فقد جرت العادة على استخدام النماذج لدراسة الظواهر النووية ، ومن أهم وايسر تلك النماذج النموذج الضوئي النووي حيث وصف النوى الذرية بأنها تشبه الكرات ضبابية تصطدم بشعاع من الجسيمات المقذوفة تمتض جزءاً من الحزمة وتبعثر جزءاً آخر وتنقلها جزئياً بطريقة مماثلة لسلوك الضوء [11-12] .

خلال العقود الخمسة السابقة تم تطبيق النموذج الضوئي النووي على نطاق واسع لتحليل التشتت المرن للبيانات، ونيوكلونات وجسيمات الثقيلة بوساطة نوى على نطاق واسع من الطاقات [13]. وتم توسيعه ليشمل التشتت غير من بوساطة صيغة القنوات المترادفة [3]. واعتبار أثار التشتت ممكنة لكل من الحالات المحدودة والمترادفة والتي توصف بنفس المجال المتوسط [4-5]. أن التفاعل نواة-نواة هو معد بطيئته، والنماذج الضوئي يمثل بواسطة كمون تبدي بشكل بسيط جداً، مع البارامترات التي يتم ضبطها لتناسب البيانات التجريبية. هذا الكمون يحوي جزء تخيلي الذي يأخذ بالإعتبار تدفق تفاعل الامتصاص من قناة مرنة إلى غير مرنة تفاعل قنوات. هذا مشابه لتشتت وامتصاص الضوء بواسطة معامل الانكسار العقدي الوسطي، لذلك عُرف النموذج الذي

يُطلق عليه النموذج الضوئي. تتأثر المقاطع العرضية للتشتت المرن بالحالات المثارة من النظام المركب بواسطة الحالات المتبقية في الفنوات الغير مرنة. هذا يسبب تغيرات المقاطع العرضي، وهذه التغيرات يمكن تحليلها ورؤيتها عند القياسات لإجراءات عالية تمت على نوى خفيفة. عادة تكون دقة التجربة للكاشف كافية لمعرفة متوسط هذه التغيرات، ولكن يجب علينا أن نتأكد أن النموذج الضوئي يوافق فقط متوسط الطاقة المقاطع العرضية [6-7].

هدف البحث:

إيجاد البارامترات الهندسية للكمون الضوئي بطريقة VMA ، وتحديد مقاطع التفاعل للمجال المدروس.

منهجية طريقة VMA [8-9-10-11-12-13-14]

من أجل وصف الحقل الوسطي الذي يعبر عن التأثير المتبادل بين نيوترونات المقدوفة ونواة الهدف :

$$U(r, E) = V(r, E) + iW(r, E) + V_{LS}(r, E) + V_C(r) \quad (1)$$

ويكون الحد الاول من العلاقة (1) من مجموع مركبتين:

المركبة الاولى مركبة كمون هارتلي - فوك V_{HF} .

المركبة الثانية التبددية و التي بدورها تتتألف من مجموع حدين تبددي سطحي $\Delta V_w(r, E)$ و تبددي حجمي $\Delta V_d(r, E)$.

الحد الثاني: يتكون من مجموع مركبتين تخيلية سطحية $w_d(r, E)$ ومركبة تخيلية حجمية $w_w(r, E)$ ، والحد الثالث: هو الكمون الناتج عن التأثير المتبادل بين العزمين السبيئي والمداري والحد الرابع يمثل الكمون الكولوني ويعبر عنه بدلالة نصف قطر المتبادل

$$R_c = r_c A^{\frac{1}{3}}$$

وبالتالي تكتب العلاقة بالصيغة التفصيلية:

$$\begin{aligned} U(r, E) = & \left[\Delta V_d(r, E) + \Delta V_w(r, E) \right] + V_{HF}(r, E) \\ & + i[w_d(r, E) + w_w(r, E)] + V_{LS}(r, E) \\ & + V_C(r, E) \end{aligned} \quad (2)$$

ولوصف التابعية القطبية لكل من الحدود الواردة في العلاقة (2) يقترح باستخدام شكل تابع وودا ساكسون (*Woods-Saxon form factor*) المُعبّر عنه بالعلاقة التالية :

$$\begin{aligned} V(r, E) &= V_v(E) F(x_v) \\ x_v &= \frac{r - R_v}{a_v}, R_v = r_v A^{\frac{1}{3}} \quad (3) \\ f(x_v) &= [1 + \exp x_v]^{-1} \end{aligned}$$

ونعتبر قيم الوسطاء الخاصة بالكمون $V_{LS}(r, E)$ و كمون الكولوني غير تابعة للطاقة ، لذلك تؤخذ قيم ثابتة

$$(V_{LS} = 6.8 \text{ Mev}, \quad r_{LS} = 1.2 \text{ Fm}, a_{LS} = 0.6 \text{ Fm}, r_c = 1.26 \text{ Fm})$$

: (VMA) طريقة محتوى

هدفنا الاساسي إيجاد مكونات العلاقة (2) وفقاً لطريقة التقريب التغايري للعزوم اختصاراً (Variational Moment Approach) (VMA) التي تربط بين حدي الكمون الضوئي (الجمي و التخييلي) من خلال العلاقة التبددية:[7-6]

$$\begin{aligned}\Delta V(r, E) &= \frac{2}{\pi} (E - E_f) \int_{E_0}^{\infty} \frac{W(r, E) dE}{(E - E_f)^2 - (E - E_f)} \\ &= \Delta V_w(E) f(x_w) + \Delta V_d(E) g(x_d)\end{aligned}\quad (4)$$

تقوم هذه الطريقة المتبعة على ادخال بارامترات كمون الضوئي التقليدي (التي تم ايجادها بشكل تخييلي) على برنامج حاسوبي بلغة الباسكال (SPI- GENOA) من خلاله نجد قيم التكاملات الحجمية للكمون الضوئي (العزم من المرتبة الثانية بالنسبة لجزء الحقيقي و التخييلي على الترتيب ($[r]_w^2(E)$, $[r]_v^2(E)$) وفقاً لعلاقة [20]:

$$[r]_w^2(E) = \frac{4\pi}{A} \int_0^{\infty} [W_d(r, E) + W_W(r, E)] r^2 dr \quad (5)$$

$$[r]_w^2(E) = [r]_{w_w}^2(E) + [r]_{w_d}^2(E)$$

ويليه من علاقة (برلون - راو) نجد الوسطاء الهندسية ($\rho_2, \beta_2, E_0, \rho_w$) من العلاقة :

$$[r]_w^2(E) = \beta_2 \frac{(E - E_0)^2}{(E - E_0)^2 + \rho_2^2} \quad (6)$$

ونقوم بحساب عزم هارتزي - فوك وفق العلاقة:

$$\begin{aligned}J_{Hf} &= \frac{4\pi}{3} \frac{R_{Hf}^3}{A} [1 \\ &\quad + \left(\frac{\pi \alpha_{Hf}}{R_{Hf}}\right)^2 U_{Hf}(Ef)]\end{aligned}\quad (7)$$

حيث:

$$U_{Hf}(Ef) = V_0 - \left(\frac{N - Z}{A}\right) \times V_1 \quad R = r_v A^{\frac{1}{3}}, r_{vHf} = 1.236$$

$$V_0 = 54.9 MeV, V_1 = 38.1 MeV \quad a_{rHf} = 0.62$$

ونوجد الوسطاء (r_w, r_d, a_w, a_d) نثبتها كقيم وسطية للبارامترات العشوائية للكمون الضوئي العادي بعد الانتهاء من تحديد مكونات العلاقة (2) يصبح الحقل بصيغته النهائية بالشكل:[15-16-17]

$$\begin{aligned} U(r, E) = & \frac{[r^2]_{HF}(E_F)}{g_{HF}} \exp[\alpha_{HF}(E - E_F)] f(x_{HF}) + \Delta V_w(E) f(x_w) \\ & + \Delta V_d(E) g(x_d) + iW_w f(x_w) + iW_d g(x_d) \\ & + V_{ls}(r, E) + V_c(r) \end{aligned} \quad (8)$$

وأخيراً وبعد تحديد جميع مكونات الكمون الضوئي وتحديد وسطائه، يتم حل معادلة شرودينغر الموجية المتضمنة لشكل الكمون وهي:

$$\frac{d^2\psi}{dx^2} + \frac{2m}{(h/2\pi)^2} (E - U)\psi = 0$$

ويستخدم SPI يتم إيجاد مقاطع التفاعل ضمن المجال الطيفي المدروس و مقارنتها مع مثلاًتها التجريبية و مع التمثيلات العالمية و الوسطية .[24-25]

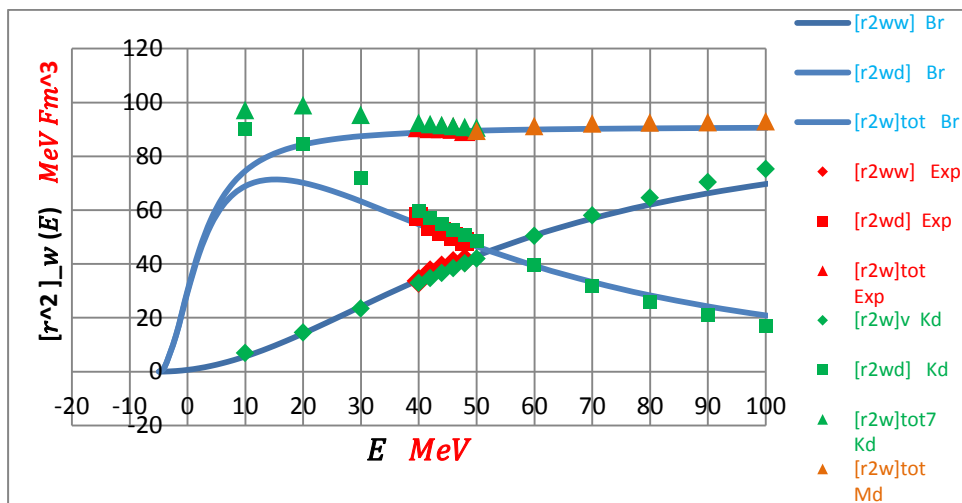
النتائج و المناقشة:

جدول (1): قيم البارامترات المثلثي التي حصلنا عليها من برنامج (VMA)

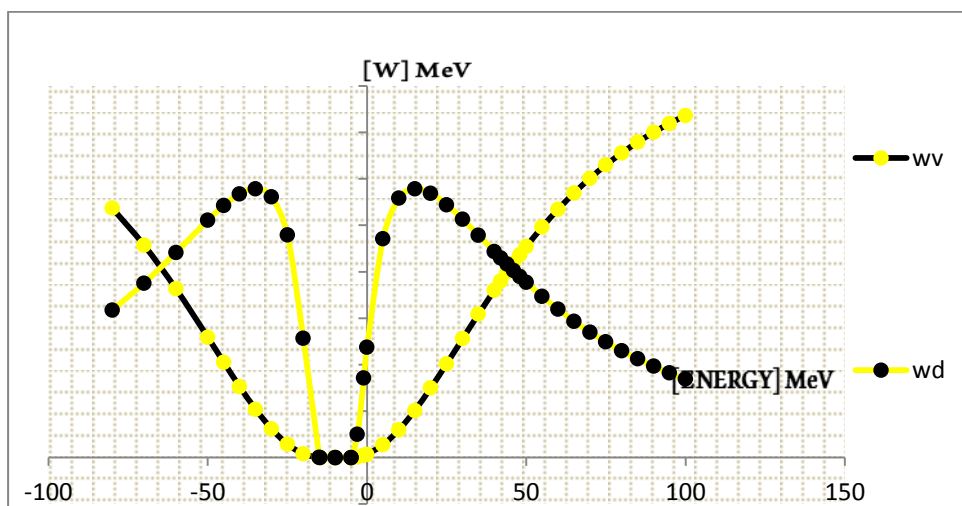
E (MeV)	V ₀ (Fm)	r ₀ (Fm)	a ₀ (Fm)	W _w (MeV)	r _w (Fm)	a _w (Fm)	W _d (MeV)	r _d (Fm)	a _d (Fm)
5	49.522	1.279	0.588	2.723	1.260	0.563	4.709	1.260	0.563
10	48.214	1.263	0.588	5.955	1.260	0.563	5.586	1.260	0.563
15	46.912	1.250	0.588	1.013	1.260	0.563	5.787	1.260	0.563
20	45.595	1.238	0.588	1.497	1.260	0.563	5.688	1.260	0.563
25	44.256	1.229	0.588	2.019	1.260	0.563	5.444	1.260	0.563
30	42.895	1.221	0.588	2.557	1.260	0.563	5.130	1.260	0.563
35	41.516	1.215	0.588	3.090	1.260	0.563	4.787	1.260	0.563
40	40.130	1.209	0.588	3.604	1.260	0.563	4.437	1.260	0.563
42	39.575	1.207	0.588	3.803	1.260	0.563	4.299	1.260	0.563
44	39.021	1.206	0.588	3.996	1.260	0.563	4.163	1.260	0.563
46	38.468	1.204	0.588	4.185	1.260	0.563	4.030	1.260	0.563
48	37.917	1.202	0.588	4.368	1.260	0.563	3.900	1.260	0.563
50	37.369	1.201	0.588	4.545	1.260	0.563	3.773	1.260	0.563
55	36.011	1.197	0.588	4.964	1.260	0.563	3.470	1.260	0.563
60	34.679	1.195	0.588	5.347	1.260	0.563	3.191	1.260	0.563
65	33.377	1.192	0.588	5.696	1.260	0.563	2.935	1.260	0.563
70	32.110	1.190	0.588	6.013	1.260	0.563	2.701	1.260	0.563
75	30.880	1.188	0.588	6.299	1.260	0.563	2.489	1.260	0.563
80	29.689	1.186	0.588	6.558	1.260	0.563	2.297	1.260	0.563
85	28.538	1.185	0.588	6.792	1.260	0.563	2.123	1.260	0.563
90	27.429	1.183	0.588	7.003	1.260	0.563	1.966	1.260	0.563
95	26.356	1.182	0.588	7.194	1.260	0.563	1.824	1.260	0.563
100	25.331	1.180	0.588	7.366	1.260	0.563	1.694	1.260	0.563
$v_{so} = 6.8 \text{ MeV}$		$r_{so} = 1.2 \text{ Fm}$		$a_{so} = 0.6 \text{ Fm}$		$r_c = 1.22 \text{ Fm}$			

جدول (2) : الوسطاء الهندسية

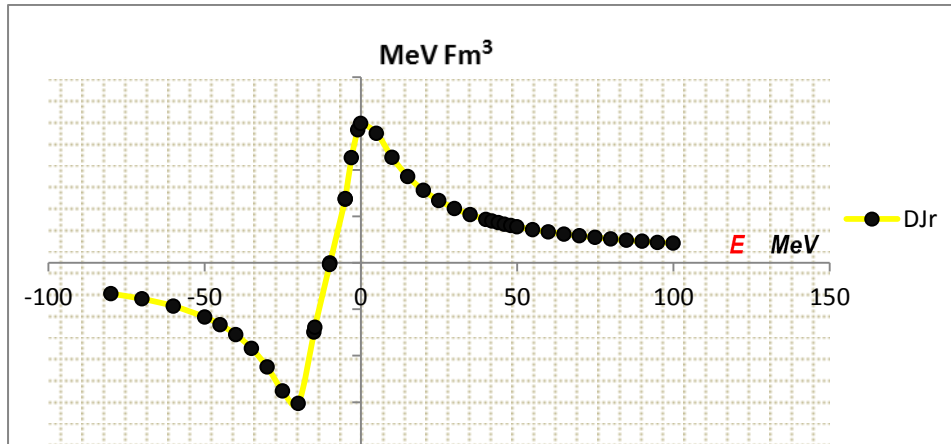
A	$\beta_2(MeV)$	$\rho_2(MeV)$	$\rho_w(MeV)$	α	$E_\gamma(MeV)$	$E_0(MeV)$	$[r^2]_{Hf}(E_\gamma)$
$^{54}_{26}Fe$	91	7	58	0.460	-9.85	-4.9	496.27



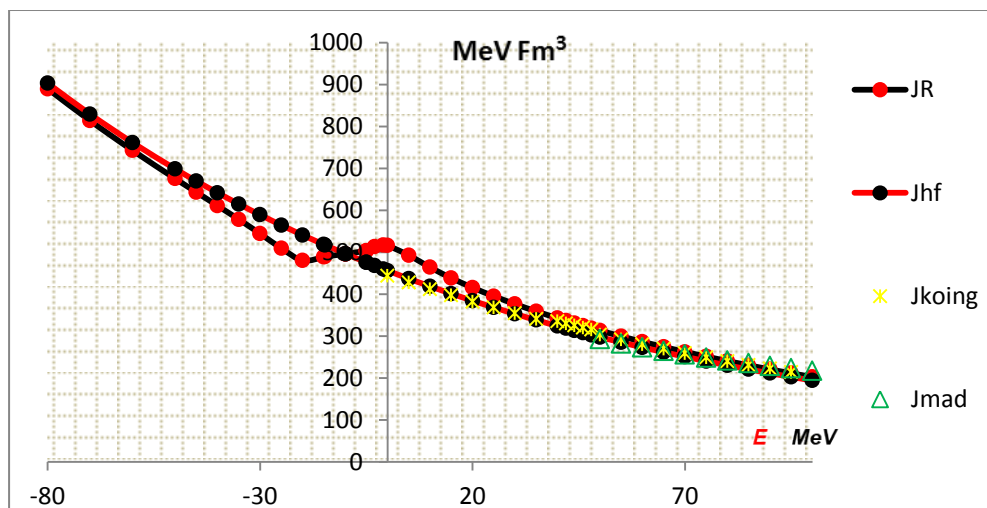
الشكل (1): يبين تابعية كل من العزم التخيلي (السطحى و الحجمي) بالنسبة للطاقة بوساطة نواة عنصر المدروسا.



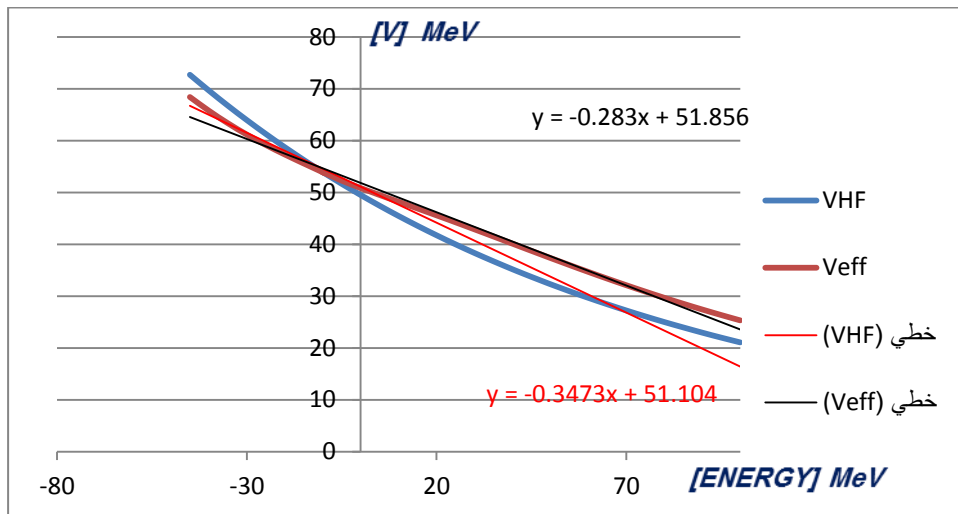
الشكل (2): يمثل التابعية الطاقية لكل في الجهد التخيلي السطحي والجمي بوساطة العنصر المدروس.



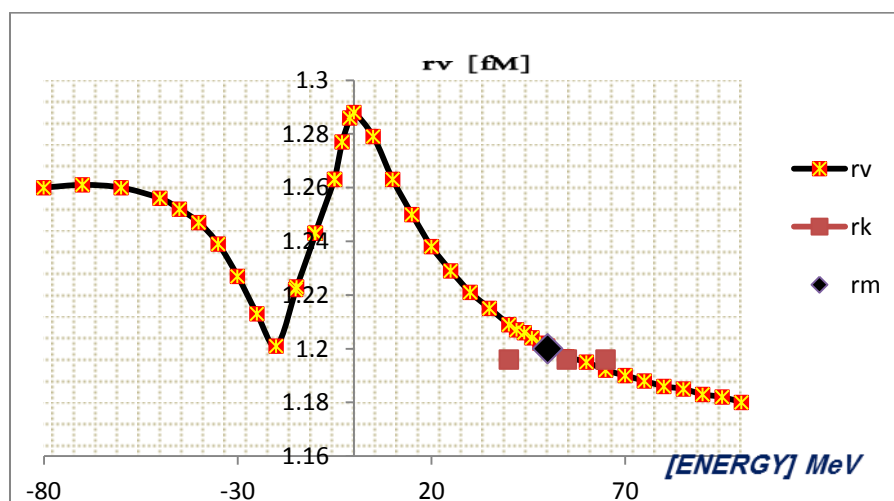
الشكل (3): يمثل العزم التبديي بتابعية الطاقة ضمن المجال المدروس.



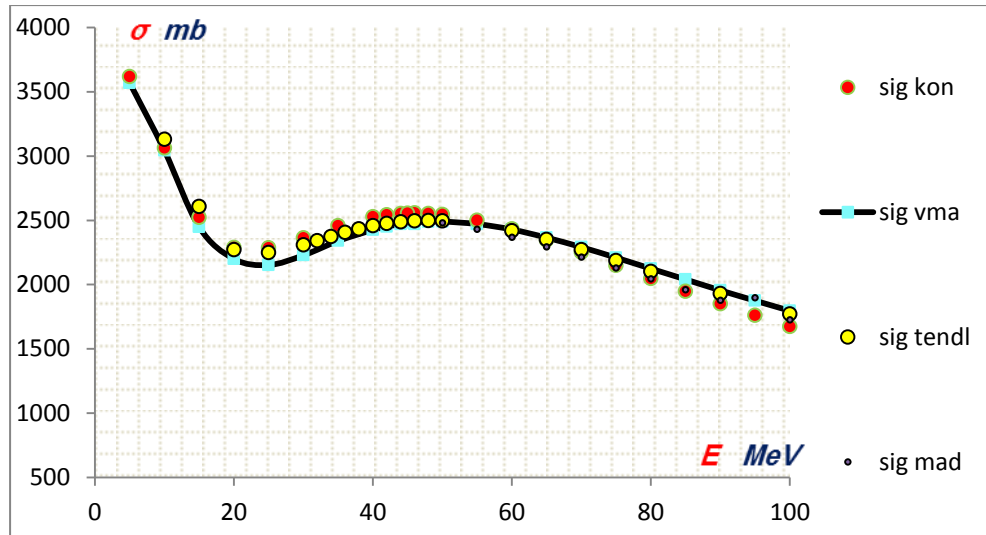
الشكل (4): يمثل تغير العزم الحقيقي وعزم هارتري - فواك للتفاعل بدلالة الطاقة ضمن المجال المدروس.



الشكل(5): التابعية الطاقية للجزء الحقيقي للكمون النيوتروني الضوئي وكمون هالترزي فوك ضمن المجال المدروس.



الشكل(6): يمثل التابعية لنصف قطر الكمون النيوتروني الضوئي للتفاعل وضمن مجال الطaciي المدروس.



الشكل (7): يمثل تابعة المقطع الكلي للتفاعل للطاقة ضمن المجال الطيفي المدروس.

الاستنتاجات:

لقد قمنا بدراسة ظاهرة التبعثر باستخدام النموذج الضوئي التبددي وفق طريقة (VMA) للمنظومة ($n + {}^{54}_{26}Fe$) وضمن مجال طيفي ($40 \leq E \leq 50$) Mev ومدى المجال لدرس الطاقات الأخفض وال أعلى ($10 \leq E \leq 100$) Mev. وبناءً عليه لقد قمنا بإيجاد كل من التكاملات الحجمية (السطحية والحجمية) و مقاطع التفاعل الكلية [18-19-20-21-22-23].

من خلال البارامترات المثلث الموضحة في الجدول (1,2). حيث قمنا بتمثيل هذه البارامترات و مقارنتها مع كل من تصنيف (كونيك، مادلاند) [24-25-26] لتأكد من دقة القيم الناتجة.

نلاحظ من الشكل (1): وجود تقارب ملحوظ بين القيم الحسابية للتكاملات الحجمية بالنسبة لطاقة والمعطيات وفق المرجع..

ويوضح الشكل (2): الكمون التخييلي (السطحى و الحجمي) من خلال القيم المحدودة ضمن الجدول (1) وفق طريقة (VMA) من العلاقة (6).

ونرى من الشكل (3) التوافق الجيد مع الشكل العام الوارد في المرجع.. وهنا نلتمس صحة ودقة تحديد الوسطاء الهندسية للكمون (الجدول 1).

وأن القيم الحسابية التي حصلنا عليها وفق طريقة (VMA) التي يبيّنها الشكل (4) تعطينا تطابق جيد مع القيم التجريبية في المرجع [26] وما يؤكد لنا دقة وصحة الطريقة المتبعة في تحديد البارامترات المثلالية للكمون الضوئي.

ويوضح لنا الشكل(5) التابعية الخطية لكل من الكمون الحقيقي وكمون (هارتري -فوك) بالنسبة لطاقة وتوصف هذه التابعية بعلاقتين وسطيتين كما يلي:

$$V_{HF} = -0.347E + 51.104 \quad V = -0.283E + 51.856$$

ومن الشكل (6): يصف لنا نصف القطر الحقيقي للكمون وبمقارنته مع نصف القطر الحقيقي لكل من تصنيف (كونيك ومادلاند) [24-25-26] لاحظنا وجود تقارب جيد مع القيم وهذا يدل على صحة القيم المحسوبة.

وبالاستناد إلى كل ما سبق ونتيجة للدقة في تطبيق طريقة (VMA) ومن ثم تحديد قيم البارامترات المثلى تم تحديد قيم المقاطع التفاعل الكلية ومثلث تابعيتها للطاقة الموضحة بالشكل (7):نلاحظ من خلال التمثيل البياني التطابق الجيد مع القيم التجريبية لمقاطع التفاعل وثائق المحسوبة من خلال طريقة(VMA) وايضاً التطابق بين قيم المقاطع التفاعل حسب طريقة (VMA) وقيم مقاطع التفاعل المحسوبة وفق تصنيف كونيك و

تحديد البارامترات الهندسية للكمون الضوئي بطريقة VMA للمنظومة ($n + {}_{26}^{54}Fe_{28}$)

تصنيف مادلاند ونوه ان هذا التطابق قلما يلاحظ ضمن مناطق الطاقة المنخفضة ، الأمر الذي يجعل تلك البارامترات صالحة لتوسيف المقطع الكلي للتفاعل .
[27] $(n + Fe^{54})$

نلاحظ من الشكل (7) ان قيم مقاطع التفاعل كبيرة في الطاقات المنخفضة وذلك بسبب أن مساهمة قنوات التفاعل تكون أعلى من مساهمة قناة التبعثر المرن في التفاعل $(n + Fe^{54})$ بينما في منطقة الطاقات المتوسطة تكون لقناة التبعثر المساهمة الأكبر من بين قنوات التفاعل ، وان انخفاض مساهمات قنوات التفاعل نتيجة انخفاض قيم مقاطع التفاعل الكلية في الطاقة العالية [4-5] .

من خلال كل ماسبق يمكن القول : أن النموذج الضوئي التبددي يعطي طريقة جديدة ودقيقة يمكن من خلالها استنباط شكل الكمون الضوئي و ايجاد قيم العزوم من المرتبة الثانية بالنسبة للكمون ، إضافة لتحديد قيم مقاطع التفاعل الكلية، وبالتالي يمكن اعتمادها كأساس مرجعي للدراسات المستقبلية للنووي المروسة، ويمكن الحكم على صحة النتائج التي تقدمها التصنيفات الموجودة في المراجع.

المراجع

- [1]- د- أنيس بلال ، د - عبد الهادي صوفان - خديجة الحسن -2016- دراسة التكاملات الحجمية للبروتونات المقذوفة بطاقة $E_p = 10 MeV$ بدلالة الاعداد الكتليلية $(27 \leq A \leq 90)$ باستخدام طريقة VMA ، مجلة جامعة البعث ، مجلد (38) .
- [2] - د- أنيس بلال،مالك الحموي- 2016 - دراسة التبعثر البروتوني بواسطة Sn_{50}^{112} في المجال الطيفي $20 \leq E_p \leq 65 MeV$ ، مجلة جامعة البعث ، مجلد(38).
- [3] - د- أنيس بلال ، ملهم يوسف- 2021 - دراسة تأثير المساهمة التبددية للتبعثر النيوترونات المقذوفة بطاقة $(60 \leq E_n \leq 80) MeV$ بواسطة نواة الهدف $^{58}_{29}Cu_{29}$ باستخدام طريقة (VMA)، مجلة جامعة البعث،المجلد 43.
- [4]- Molhum Ussef, & Anis Belal. (2020). Study of the dispersive contribution effect for neutrons scattering with energy($60 \leq E_n \leq 80) MeV$, Nuclear Science, Science PG, Vol.5,Issue Number 4,December 2020.
- [5]- Molhum Ussef, & Anis Belal. (2020). THE NEUTRONS SCATTERING ANALYSIS BY Cu60, NUCLEUS USING VARIATIONAL MOMENT APPROACH, International Journal of Science Academic Research, Vol. 01, Issue 09, pp.612-618, December, 2020 Available online at <http://www.scienceijsar.com>
- [6]- MAHAUX . C, BORTIGNON P.F, 1985 -Dynamics of the shell model .Phys. Rep, V.120 , p.p.1- 274.
- [7]- MAHAUX . C, SARTOR . R ,1989 , Nucl . Phys .V. 503,P.525.

- [8]- MAHAUX . C, SARTOR . R , 1991, Nucl . Phys .V. 528.P. 253.
- [9]- MAHAUX . C,SARTOR . R ,1992 -Advance in nuclear, phys. edited , New. York , Vol . 20 , p.1 .
- [10]- ROMANOVSKY E. A , BELAL. A , MORZENA L .R, 1993 , News. RAS ,Phys . Vol . 57, No . 10 , P. 179.
- [11]-ROMANOVSKY E. A, BOTROS. S,BECPALOVA,B.O,1995, News. RAS ,Phys . Vol . 59, No . 1 , P . 145.
- [12] - ROMANOVSKY E. A , BOTROS . S ,SBASKIA T. E,1995,News . RAS, Phys .Vol .59 , No . 5 , P . 117 .
- [13]-BELAL. A ,2006-Investigating the resultant characteristics of proton scattering on nuclei $50 \leq A \leq 70$ with energy near the columbic barrier ($E = E_B$) using(VMA)model ,Journal of Al Baath Syria- Homs,Vol.28,No.2, p.279-297-University
- [14]- BELAL. A , 2009-Using the Dispersion Optical Model for Analysis of Proton Scattering by Nuclei $Zr^{92,94,96}$ Energy Range close to columbic barrier Journal of AL Baath University –Syria-Homs , No.31.
- [15]- ROMANOVSKY .E .A,BECPALOVA . O.B , 2001- MeasurementsandAnalysis elastic scattering protons with energies $< 10 MeV$ for (Sn)-Moscow.

- [16] - ROMANOVSKY . E. A , BECPALOVA . B .O ,2004-
Analyzed within the dispersive optical model for the proton and
 Zr^{90} with in energies 5Mev <E<65Mev,Nucl. Phys..
- [17]- HODGSON . P. E , 1991- The Dispersive Optical
Model,OUPN,91-11, p.p.1-7.
- [18] - GURBICH .A . F, LIONEV. A , 1983- Analysis Proton
Optical -Model potential near the coulomb barrier, blinks – USSR.
- [19]- MAHAUX . C, BORTINGNON P.F, 1985 -Dynamics of
the shell model .Phys. Rep, V.120 , p.p.1- 274.
- [20]-Brown . G. E , Rho, M . 1981,Nucl . Phys , A . 372,397.
- [21]- PEREY F.G. code SPI-GENOA (unpublished)1976.
- [22]- MAHAUX . C, SARTOR . R(1991).Dispersion Relation
Approch To The Mean Field And Spectral Functions Of Nucleons
In 40 Ca,Nuclear Physics A528,253-297.
- [23]- B EER K.,HODGSON P.E, 1994-The Systematic of Nuclear
Bound States.J.phys.G.Nuclphys.,V.4.N.12, 128791-12p.
- [24]-KONING A.J. AND D. ROCHMAN,2011- Nuclear Research
and Consultancy Group (NRG) Petten, The Netherlands. Release
date: December 29.
- [25]- P.G. Young, Los Alamos National Laboratory-(1994),
Experience at los alamos with use of the optical model for applied
nucleia data calculations, (report la-ur-94-3104).
- [26]- Jeukenne J.P, Mahaux C, Jaminon M.
Dependence upon mass number and neutron excess of the real part
of the proton optical potential for mass numbers ($44 \leq A \leq 72$).

Phys . Rev . 1986, V.C34M P.P.468-479.

[27]-A.E.Taylor, E.Wood, 2016- Neutron total cross section between 30 and 153 MeV,The London,Edinburgh, and Dublin Philosophical Magazin and Jornal of Science,Series 7.

[28]-TENDL-2015(Release Data 18 january 2016) By A.J. Koning1, D. Rochman, J. Kopecky, J.Ch. Sublet, M. Fleming, E. Bauge, S. Hilaire, P. Romain, B. Morillon, H. Duarte, S. C van der Marck, S. Pomp, H. Sjostrand, R. Forrest, H. Henriksson, O. Cabellos, S. Goriely, J. Leppanen, H. Leeb, A. Plompen, and R. Mills .

[29]-A,H, Wapstra . N. B , Gove. 1971 , Nuclear reaction and separation energies, Oak Ridge National Laboratory ,Oak Ridge,Tnnn.37830.